

	F high 54273	PW low 54274	PW high 54275	Steuer- reg. 54276	AD 54277	SR 54278	F 54294	Filter Reso- nanz 54295	Mo- dus/ Laut 54296
Signalton	60	х	х	17/16	10	10	х	0	15
Klarinette	20	0	8	65/64	106	135	X	0	15
Flöte	40	X	X	17/16	128	248	X	0	15
Oboe/Fagott	30/10	250	0	65/64	73	248	X	0	15
Schnarre	5	0	8	81/80	73	248	X	0	15
Banjo	30	X	X	32/32	8	8	50	241	111
Schuß	200	X	X	129/128	9	9	X	0	15
Explosion	1	X	X	129/128	13	93	20	241	31

Tabelle 1. Einstellbeispiele für Stimme 1

Wellenform

Der SID (Sound Interface Device) des Commodore 64 kann drei verschiedene Wellenformen erzeugen:

1. Rechteckschwingung

Vom Grundton her erinnert die Rechteckschwingung an eine Klarinette. Die schlagartige Änderung der Wellenform ermöglicht sehr vielseitige Anwendungen.

2. Sägezahnschwingung

Der Klang der Sägezahnschwingung erinnert an eine Geige. Der asymmetrische Verlauf ist durch eine steile und eine flache Flanke der Schwingung gekennzeichnet

3. Dreieckschwingung

Die Dreiecksschwingung ähnelt klanglich einer Holzflöte. Diese Schwingungsform kommt einer Sinuswelle recht nahe.

Filterung

Um den Klang eines Tones zu verändern, muß man mit verschiedenen Filtern die Zahl der Oberschwingungen verändern. Der SID kennt drei verschiedene Filter:

1. Tiefpaß

Wie der Name schon sagt, läßt der Tiefpaß tiefe Frequenzen passieren, während alle hohen abgeschwächt werden.

2. Hochpaß

Analog zum Tiefpaß

schwächt der Hochpaßfilter die tiefen Frequenzen ab. Die Töne klingen nun sehr fahl, da die Bässe fehlen.

3. Bandpaß

Der Bandpaß schwächt sowohl hohe als auch tiefe Frequenzen ab und läßt daher nur ein schmales Frequenzband passieren.

ADSR-Hüllkurven

Die SID-Hüllkurve gliedert sich zeitlich in vier Phasen, die jeweils unabhängig in 16 Stufen gesteuert werden können.

1. Attack (A)

Dieser Parameter steuert die Zeit, in der der Ton von Null bis zur maximalen Lautstärke anschwillt.

2. Decay (D)

Nach Erreichen des Maximalpegels fällt die Lautstärke wieder ab, sofern ein Haltepegel (Sustain) kleiner als 15 eingestellt ist.

3. Sustain (S)

Sustain regelt die Lautstärke, auf der der Ton nach der Decay-Phase eingestellt bleibt. Die Sustain-Phase dauert so lange, wie das Gate-Bit gesetzt ist.

4. Release (R)

Durch das Rücksetzen des Gate-Bits wird die Release-Phase eingeleitet. Der Ton klingt in der durch den R-Parameter bestimmten Zeit auf Null aus.

dresse	Req.	BIT 7	BIT 6	BIT 5	BIT 4	BIT 3	BIT 2	BIT 1	BIT 0	Registername	1	1
54272	0	F7	F6	F5	F4	F3	F2	F1	FØ	Frequenz low	S	Γ
54273	1	F15	F14	Г13	F12	F 11	F 10	F9	F8 .	Frequenz high	Ē	1
54274	2	P.7	P6	P5	P4	Р3	P2	P1	P0	Pulsweite low] =	1
54275	3	unbenutzt	unbenutzt	unbenutzt	unbenutzt	P11	P10	P9	P8	Pulsweite high	P	1
54276	4	Rauschen	Rechteck	Sägezahn	Dreieck	Test	Ringmodulat.	Synchronisat.	GATE	Kontrollregister	_	ı
54277	5	Attack 3	Attack 2	Attack 1	Attack 0	Decay 3	Decay 2	Decay 1	Decay 0	Attack/Decay		ı
54278	6	Sustain 3	Sustain 2	Sustain 1	Sustain 0	Release 3	Release 2	Release 1	Release0	Sustain/Release		L
54279	7	F7	F6	F5	F4	F3	F2	F1	F0	Frequenz low	S	1
54280	8	F15	F14	F13	F12	F11	F10	F9	F8	Frequenz high	=	1
54281	9	P7	P6	P5	P4	Р3	P2	P1	PØ	Pulsweite low	timm	1
54282	10	unbenutzt	unbenutzt	unbenutzt	unbenutzt	P11	P10	P9	P8	Pulsweite high	ne	
54283	11	Rauschen	Rechteck	Sägezahn	Dreieck	Test	Ringmodulat.	Sync hronisat.	GATE	Kontrollregister	12	ı
4284	12	Attack 3	Attack 2	Attack 1	Attack 0	Decay 3	Decay 2	Decay 1	Decay 0	Attack/Decay	1	ı
54285	13	Sustain 3	Sustain 2	Sustain 1	Sustain 0	Release 3	Release 2	Release 1	Release 0	Sustain/Release		1
54286	14	F7	F6	F5	F4	F3	F2	F1	FØ	Frequenz low	In	L
54287	15	F15	F14	F13	F12	F11	F10	F9	F8	Frequenz high	=	1
54288	16	P7	P6	P5	P4	P3	P2	P1	PØ	Pulsweite low	3	ı
54289	17	unbenutzt	unbenutzt	unbenutzt	unbenutzt	P11	P10	P9	P8	Pulsweite high	timme	ı
54290	18	Rauschen	Rechteck	Sägezahn	Dreieck	Test	Ringmodulat.	Synchronisat	GATE	Kontrollregister	w	
4291	19	Attack 3	Attack 2	Attack 1	Attack 0	Decay 3	Decay 2	Decay 1	Decay 0	Attack / Decay		ı
54292	20	Sustain 3	Sustain 2	Sustain 1	Sustain 0	Release 3	Release 2	Release 1	Release 0	Sustain/Release		١
54293	21	unbenutzt	unbenutzt	unbenutzt	unbenutzt	unbenutzt	GF 2	GF 1	GF Ø	Grenzfreguenz low	T	1
54294	22	* GF 10	GF 9	GF 8	GF 7	GF 6	GF 5	GF 4	GF 3	Grenzfrequenz high	1=	ı
54295	23	Resonanz 3	Resonanz 2	Resonanz 1	Resonanz 0	Filtex	Filter 3	Filter 2	Filter 1	Resonanz/Filter	n	ı
54296	24	Aus	Hochpass		Tiefpass	L 3	L 2	L 1	L 0	Mode/Lautstärke	7	l
):								^
54297	25	Pot X 7	Pot X 6	Pot X 5	Pot X 4	Pot X 3	Pot X 2	Pot X 1	Pot X 0	Potentiometer X	Re	I
54298	26	Pot Y 7	Pot Y 6	Pot Y 5	Pot Y 4	Pot Y 3	Pot Y 2	Pot Y 1	Pot Y 0	Potentiometer Y	egi.	I
54299	27	07	0.6	05	04	03	0.2	01	00	Oszillator 3	in	1
54300	28	Н7	Н6	Н5	H 4	Н3	Н2	H1	H 0	Hüllkurve Osz. 3	ter	ľ

Tabelle 2. Die 29 Register des SID (Sound Interface Device) mit Kurzbeschreibung der Funktionen.

Nr.	Note- Oktave	Frequenz(Hz)	Parame- ter	Hi- Byte	Lo- Byte
0 1 2 3	C-0 C#-0 D-0 D#-0	16.4 17.3 18.4 19.4	278 295 313 331	1 1 1 1	22 39 57 75
4 5 6 7 8 9 10	E-0 F-0 F#-0 G-0 G#-0 A-0 A#-0 H-0	20.6 21.8 23.1 24.5 26.0 27.5 29.1 30.9	351 372 394 417 442 468 496 526	1 1 1 1 1 1 1 2	95 116 138 161 186 212 240 14
12 13 14 15 16 17 18 19 20 21 22 23	C-1 C#-1 D-1 D#-1 E-1 F-1 G-1 G#-1 A-1 H-1	32.7 34.6 36.7 38.9 41.2 43.7 46.2 49.0 51.9 55.0 58.3 61.7	557 590 625 662 702 743 788 834 884 937 992 1051	2 2 2 2 2 2 3 3 3 3 4	45 78 113 150 190 231 20 66 116 169 224 27
24 25 26 27 28 29 30 31 32 33 34 35	C-2 C#-2 D-2 D#-2 E-2 F-2 F#-2 G-2 G#-2 A-2 A#-2	65.4 69.3 73.4 77.8 82.4 87.3 92.5 98.0 103.8 110.0 116.5 123.5	1114 1180 1250 1325 1403 1487 1575 1669 1768 1873 1985 2103	4 4 5 5 5 6 6 6 7 7 8	90 156 226 45 123 207 39 133 232 81 193 55
36 37 38 39 40 41 42 43 44 45 46 47	C-3 C#-3 D-3 D#-3 E-3 F-3 F#-3 G-3 G#-3 A-3 A#-3 H-3	130.8 138.6 146.8 155.6 164.8 174.6 185.0 196.0 207.7 220.0 233.1 246.9	2228 2360 2500 2649 2807 2974 3150 3338 3536 3746 3969 4205	8 9 9 10 10 11 12 13 13 14 15 16	180 56 196 89 247 158 78 10 208 162 129 109

Nr.	Note- Fre- Oktave quenz(H		Parame- ter	Hi- Byte	Lo- Byte	
48	C-4	261.6	4455	17	103	
49	C#-4	277.2	4720	18	112	
50	D-4	293.7	5001	19	137	
51	D#-4	311.1	5298	20	178	
52	E-4	329.6	5613	21	237	
53	F-4	349.2	5947	23	59	
54	F#-4			24	157	
		370.0	6301			
55	G-4	392.0	6676	26	20	
56	G#-4	415.3	7072	27	160	
57	A-4	440.0	7493	29	69	
58	A#-4	466.2	7939	31	3	
59	H-4	493.9	8411	32	219	
60	C-5	523.3	8911	34	207	
61	C#-5	554.4	9441	36	225	
62	D-5	587.3	10002	39	18	
63	D#-5	622.3	10597	41	101	
64	E-5	659.3	11227	43	219	
65	F-5	698.5	11894	46	118	
66	F#-5	740.0	12602	49	58	
67	G-5	784.0	13351	52	39	
68	G#-5	830.6	14145	55	65	
100000000000000000000000000000000000000	A-5				138	
69		880.0	14986	58		
70	A#-5	932.3	15877	62	5	
71	H-5	987.8	16821	65	181	
72	C-6	1046.5	17821	69	157	
73	C#-6	1108.7	18881	73	193	
74	D-6	1174.7	20004	78	36	
75	D#-6	1244.5	21193	82	201	
76	E-6	1318.5	22454	87	182	
77	F-6	1396.9	23789	92	237	
78	F#-6	1480.0	25203	98	115	
79	G-6	1568.0	26702	104	78	
80	G#-6	1661.2	28290	110	130	
81	A-6	1760.0	29972	117	20	
82	A#-6	1864.7	31754	124	10	
83	H-6	1975.5	33642	131	106	
				139	59	
84	C-7	2093.0	35643			
85	C#-7	2217.5	37762	147	130	
86	D-7	2349.3	40008	156	72	
87	D#-7	2489.0	42387	165	147	
88	E-7	2637.0	44907	175	107	
89	F-7	2793.8	47578	185	218	
90	F#-7	2960.0	50407	196	231	
91	G-7	3136.0	53404	208	156	
92	G#-7	3322.4	56580	221	4	
93	A-7	3520.0	59944	234	40	
94	A#-7	3729.3	63508	248	20	

Tabelle 3. POKE-Werte für Musik-Noten

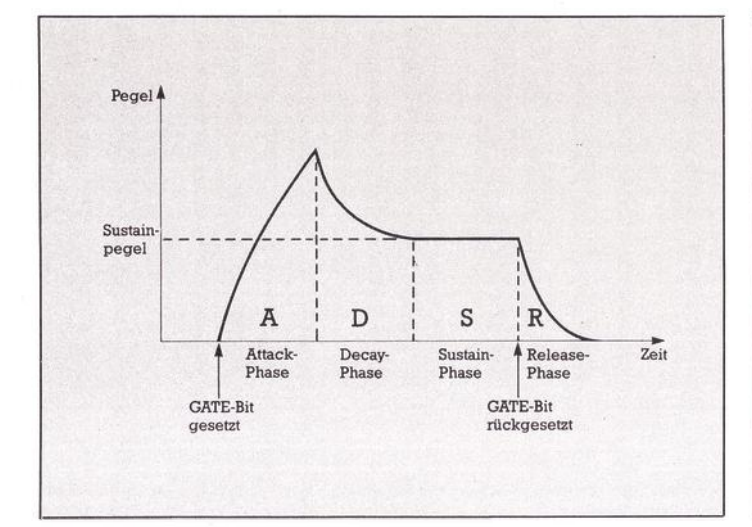


Bild 1. Der Verlauf von ADSR-Hüllkurven

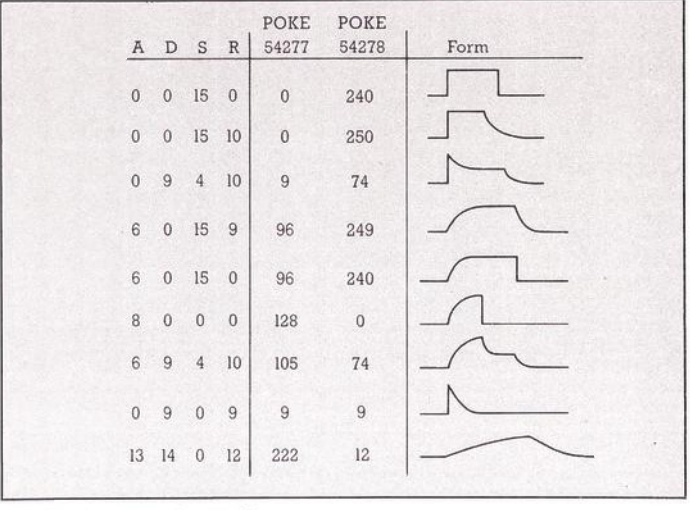


Bild 2. Beispiele für Hüllkurven